

超対称模型の現状

後藤 亨 (KEK)

Introduction

Supersymmetry (SUSY): boson \Leftrightarrow fermion symmetry.

黎明期:

- Miyazawa ('66): baryons & mesons \in supermultiplet.
- Volkov & Akulov ('72): supertranslation (nonlinear realization).

Beyond the Standard Model としての SUSY:

- Wess & Zumino ('74): renormalizable quantum field theory (4-dim. $N = 1$)

以後、"realistic" model building \wedge 。

Minimal Supersymmetric Standard Model (MSSM) の現象論が詳しく調べられている。

Introduction

SUSY 模型を研究する動機:

- 豊富な新粒子、新現象を予言 \Rightarrow 面白い。
- 統一理論の可能性
 - ▷ Local SUSY = supergravity: 重力を含む
 - * SUSY algebra \supset spacetime translation (Poincaré group)
 \Rightarrow local SUSY transformation \supset 一般座標変換
 - ▷ MSSM \rightarrow GUT と相性がいい。
- (ゲージ) 階層性問題の緩和
 - ▷ Electroweak scale (~ 100 GeV) \Leftrightarrow Planck (GUT) scale ($\sim 10^{16-19}$ GeV)
 - * “軽い” スピン 0 粒子を対称性で保証
 - ・ スピン 1 \rightarrow ゲージ対称性
 - ・ スピン 1/2 \rightarrow カイラル対称性

Introduction

Hierarchy problem in SM

- Higgs boson mass への量子補正 \rightarrow 二次発散

$$m_h^2 = m_h^{(\text{tree})2} + \delta m_h^2 = O((100\text{GeV})^2)$$

$$\delta m_h^2 \sim \text{[loop diagram]} \sim \Lambda^2 \quad (\Lambda \sim M_{\text{Planck}})$$

\Rightarrow 不自然!

Supersymmetry stabilizes the hierarchy.

$$\delta m_h^2 \sim \text{[dashed loop]} + \text{[solid loop]} \sim \log \Lambda^2$$

Introduction

このセミナーでは、minimal supergravity model (mSUGRA) を中心に、模型の構造と、最近の LHC の結果について紹介する。

以下の目次

- Minimal Supersymmetric Standard Model
- Minimal Supergravity scenario
- Constraints from LHC
- Constraints from flavor physics

Minimal Supersymmetric Standard Model (MSSM)

The Standard Model:

- $SU(3) \times SU(2) \times U(1)$ gauge theory.
- 3 families of quarks/leptons (chiral fermions).
- 1 Higgs doublet (complex scalars).
- 19 (+9) parameters.
 - ▷ $\alpha_s, \alpha, G_F, m_Z, m_{u,c,t}, m_{d,s,b}, m_{e,\mu,\tau}, m_h, V_{\text{CKM}}(\lambda, A, \bar{\rho}, \bar{\eta}), \theta_{\text{QCD}}$.
 - ▷ $m_{\nu_1,\nu_2,\nu_3}, U_{\text{MNS}}$.

MSSM: field contents

標準模型を超対称化する： superpartners の導入。

- $SU(3) \times SU(2) \times U(1)$ gauge fields: g_μ, W_μ, B_μ
⇒ vector supermultiplets $(g_\mu, \tilde{g}), (W_\mu, \tilde{W}), (B_\mu, \tilde{B})$
 - ▷ $\tilde{g}, \tilde{W}, \tilde{B}$: Majorana fermions (gauginos).
- Quarks, leptons: $q_L, (u_R)^c, (d_R)^c, \ell_L, (e_R)^c$
⇒ (left-handed) chiral supermultiplets
 $Q(q_L, \tilde{q}_L), U^c((u_R)^c, \tilde{u}_R^*), D^c((d_R)^c, \tilde{d}_R^*), L(\ell_L, \tilde{\ell}_L), E^c((e_R)^c, \tilde{e}_R^*)$
 - ▷ $\tilde{q}_L, \tilde{u}_R^*, \tilde{d}_R^*, \tilde{\ell}_L, \tilde{e}_R^*$: complex scalars (squarks, sleptons).
 - ▷ 全部3世代。
- Higgs doublet H
⇒ (left-handed) chiral supermultiplets $H_1(h_1, \tilde{h}_1), H_2(h_2, \tilde{h}_2)$
 - ▷ \tilde{h}_1, \tilde{h}_2 : chiral fermions (higgsinos)

MSSM: field contents

Chiral supermultiplets ($SU(3)$, $SU(2)$, $U(1)$):

$$Q_i(\mathbf{3}, \mathbf{2}, \frac{1}{6}), \quad U_i^c(\bar{\mathbf{3}}, \mathbf{1}, -\frac{2}{3}), \quad D_i^c(\bar{\mathbf{3}}, \mathbf{1}, \frac{1}{3}), \quad L_i(\mathbf{1}, \mathbf{2}, -\frac{1}{2}), \\ E_i^c(\mathbf{1}, \mathbf{1}, 1), \quad H_1(\mathbf{1}, \mathbf{2}, -\frac{1}{2}), \quad H_2(\mathbf{1}, \mathbf{2}, \frac{1}{2}).$$

$i = 1, 2, 3.$

Higgs doublets は2つ必要。

- 湯川相互作用の超対称化 (後述)
- Gauge anomaly cancellation
 - ▷ \tilde{h}_1 は ℓ_L と同じ量子数。これだけを追加すると gauge anomaly が生じる。 \tilde{h}_2 で相殺。

MSSM: field contents

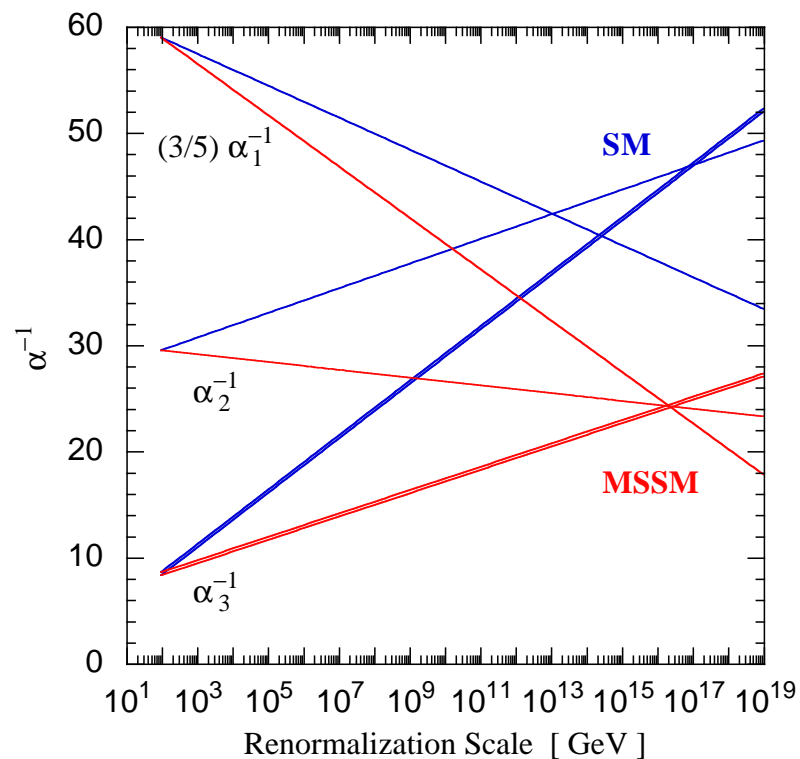
大統一理論 (GUT) と相性が良い。

- GUT は

- ▷ $Q_e = -Q_p$

- ▷ $g_3 > g_2 > g_1$

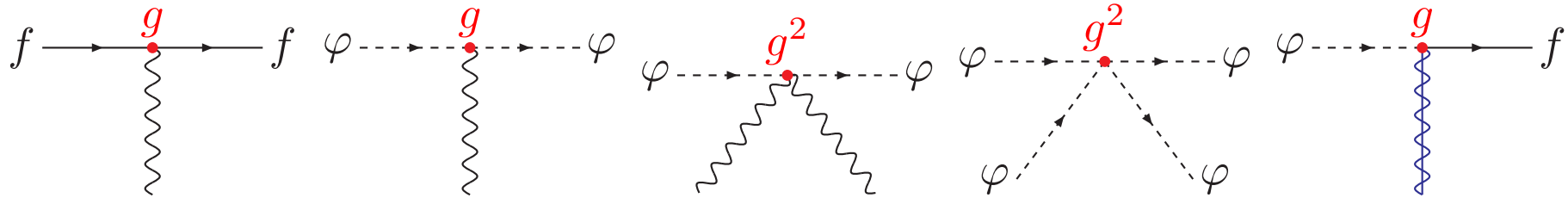
をゲージ対称性と関連づける点で魅力的。



MSSM: interactions

相互作用の超対称化

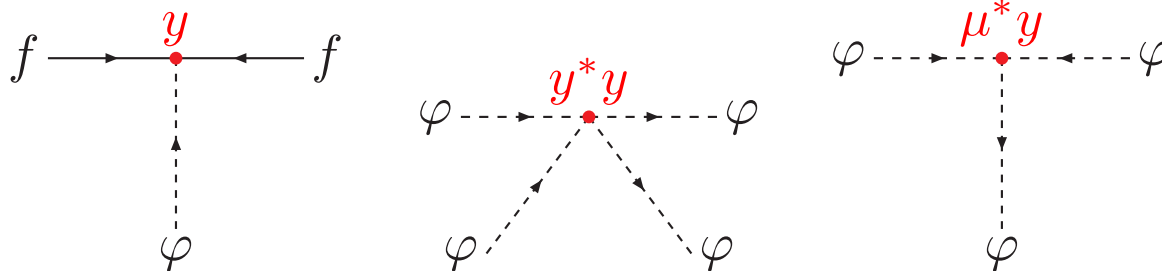
SUSY gauge interactions



Superpotential (Yukawa couplings & “ μ ”): holomorphic

$$W_{\text{MSSM}} = \epsilon_{ab} \left[(Y_E)_{ij} H_1^a L_i^b E_j^c + (Y_D)_{ij} H_1^a Q_i^b D_j^c + (Y_U)_{ij} H_2^b Q_i^a U_j^c - \mu H_1^a H_2^b \right],$$

- SUSY: scalar にも chirality. $\Rightarrow h_1^\dagger$ で h_2 の代用不可。



MSSM: R -parity

Gauge invariance だけだと

$$W_{\text{RPV}} = \epsilon_{ab} \left[\frac{1}{2} \lambda_{ijk} L_i^a L_j^b E_k^c + \lambda'_{ijk} L_i^a Q_j^b D_k^c - \kappa_i L_i^a H_2^b \right] + \frac{1}{2} \lambda''_{ijk} U_i^c D_j^c D_k^c,$$

も可能。これらはバリオン数、レプトン数を破る \Rightarrow 短寿命で陽子崩壊。

R -parity

- Even: SM particles
- Odd: SUSY particles (\tilde{g} , \tilde{W} , \tilde{B} , $\tilde{q}_{L,R}$, $\tilde{\ell}_{L,R}$, \tilde{h}_i)

で禁止 (L_i と H_1 に異なる量子数を割り当)。

\Rightarrow Lightest R -odd particle (Lightest SUSY Particle, LSP) は安定。

MSSM: SUSY breaking

超対称性は破れている。これを soft SUSY breaking terms として取り入れる。

- Gaugino masses

$$\mathcal{L}_G = \frac{1}{2} \left[M_1 \tilde{B}\tilde{B} + M_2 \tilde{W}^A \tilde{W}^A + M_3 \tilde{g}^X \tilde{g}^X \right] + \text{H. c. .}$$

- Scalar masses

$$\begin{aligned} V_2 = & \tilde{q}_{iLa}^* (m_{\tilde{Q}}^2)_{ij} \tilde{q}_{jL}^a + \tilde{\ell}_{iLa}^* (m_{\tilde{L}}^2)_{ij} \tilde{\ell}_{jL}^a \\ & + \tilde{u}_{iR} (m_{\tilde{u}}^2)_{ij} \tilde{u}_{jR}^* + \tilde{d}_{iR} (m_{\tilde{d}}^2)_{ij} \tilde{d}_{jR}^* + \tilde{e}_{iR} (m_{\tilde{e}}^2)_{ij} \tilde{e}_{jR}^* \\ & + m_{H_1}^2 h_{1a}^* h_1^a + m_{H_2}^2 h_{2a}^* h_2^a - \left[m_3^2 \epsilon_{ab} h_1^a h_2^b + \text{H. c. .} \right], \end{aligned}$$

- Trilinear scalar couplings (holomorphic)

$$V_3 = \epsilon_{ab} \left[(T_E)_{ij} h_1^a \tilde{\ell}_{iL}^b \tilde{e}_{jR}^* + (T_D)_{ij} h_1^a \tilde{q}_{iL}^b \tilde{d}_{jR}^* + (T_U)_{ij} h_2^b \tilde{q}_{iL}^a \tilde{u}_{jR}^* \right],$$

Soft = 2次発散を生じない (Girardello & Grisaru, '82)。

MSSM: SUSY breaking

SUSY breaking mechanism を特定しない場合、

- 105 new parameters. “MSSM-124”
 - ▷ Standard Model はパラメータ 19 個。
 - ▷ 大半 (97 個) が squark/slepton mass matrices (SUSY breaking)
⇒ flavor/CPV sector.

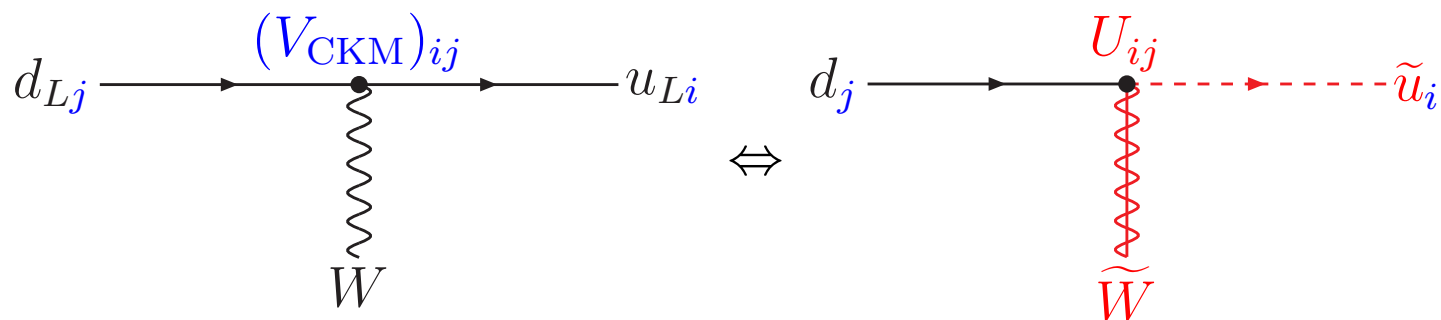
⇒ 最初から大問題。

MSSM + “SUSY breaking parameters の構造の種” で模型を定義する。

Flavor mixing in the MSSM

- quark の質量行列 \Leftarrow Electroweak gauge symmetry breaking ($\langle h \rangle$),
- squark の質量行列 \Leftarrow EW symmetry breaking \oplus SUSY breaking.

quark と squark の質量行列は一般には同時対角化できない。

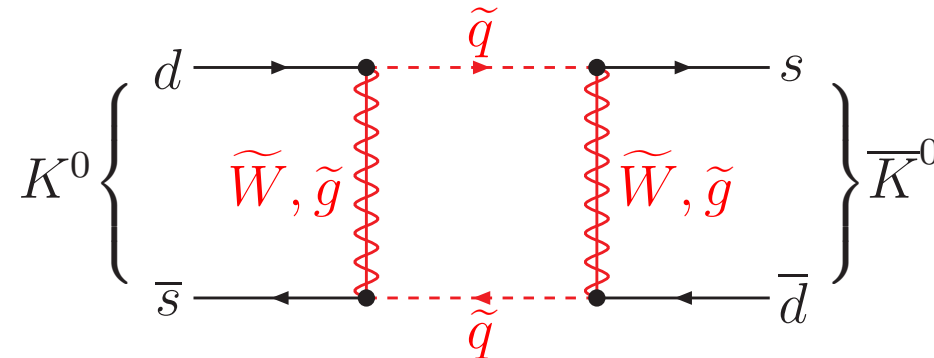


- squark の相互作用に CKM 行列とは一般に異なる混合行列が現れる。
- SUSY breaking に特別な構造 (universality, etc.) があれば、混合行列が一致する場合もある。

SUSY Flavor “Problem”

SUSY breaking のフレーバー構造は既に制限されている。(Ellis & Nanopoulos, '82)

- 最も強い制限: $K^0 - \bar{K}^0$ 混合 (特に ε_K)
 - ▷ squark mixing \sim quark mixing (CKM) を仮定



$$\frac{1}{m(\text{SUSY})^2} \left(\frac{\Delta m(\tilde{q})^2}{m(\tilde{q})^2} \right)^2 < O(10^{-10}) \text{ GeV}^{-2}.$$

- ▷ $m(\text{SUSY}) \sim 100 \text{ GeV}$ なら $\frac{\Delta m(\tilde{q})^2}{m(\tilde{q})^2} < O(10^{-3})$ 。
- ▷ $\frac{\Delta m(\tilde{q})^2}{m(\tilde{q})^2} \sim 1$ なら $m(\text{SUSY}) > O(100 \text{ TeV})$ 。
- Lepton sector では $\mu \rightarrow e \gamma$ が強い制限を与える。

SUSY breaking scenarios: minimal supergravity

Spontaneous breaking of global SUSY の問題点

- Vacuum energy $> 0 \Rightarrow$ huge cosmological constant?
 - ▷ $H = Q^\dagger Q$ (Q : supercharge) $\Rightarrow Q|0\rangle \neq 0 \Leftrightarrow \langle 0|H|0\rangle > 0$.
- Massless Nambu-Goldstone fermion (goldstino).
- Supertrace relation (tree level): $\sum m^2(\text{boson}) - \sum m^2(\text{fermion}) = 0$.

\Rightarrow Local SUSY = supergravity (SUGRA) で解決。

- Supertrace relation は loop で解決する方法も (gauge mediation 等)。

Minimal supergravity

Matter coupled supergravity (Cremmer, Julia, Scherk *et al.*, '79)

⊕ gauge (Cremmer, Ferrara, Girardello & van Proeyen, '83)

Lagrangian は

- Kähler potential $K(\varphi, \varphi^*)$,
- superpotential $W(\varphi)$,
- gauge kinetic function $f_{ab}(\varphi)$,

で記述される。

$$\mathcal{L}_{\text{kin}} = K_j^i \partial^\mu \varphi_i^* \partial_\mu \varphi^j - \frac{1}{4} \text{Re} f_{ab}(\varphi) F^{a\mu\nu} F_{\mu\nu}^b + \dots,$$

$$V = e^G \left[G^i (G^{-1})_i^j G_j - 3 \right] + (\text{gauge}), \quad G = K + \log |W|^2,$$

$$G_i = \frac{\partial G(\varphi, \varphi^*)}{\partial \varphi^i}, \quad G_j^i = \frac{\partial^2 G(\varphi, \varphi^*)}{\partial \varphi_i^* \partial \varphi^j} = K_j^i,$$

Minimal supergravity

- Spontaneous SUSY breaking with vanishing cosmological constant.
 - ▷ Supersymmetric cosmological term < 0 (“-3” in V).
 - ⇒ cancels positive contributions due to SUSY breaking.
 - * Fine-tuning だが、宇宙項問題を悪化させてはいない。
- Super-Higgs mechanism: goldstino eaten by gravitino.
 - ▷ Supergravity multiplet: graviton (spin 2) & gravitino (spin 3/2): gauge field of local supersymmetry.
 - * SUSY unbroken \rightarrow massless gravitino, helicity $\pm 3/2$ only.
 - * SUSY broken \rightarrow massive gravitino $m_{3/2}$, helicity $\pm 3/2$ & $\pm 1/2$. helicity $\pm 1/2$ components \leftarrow goldstino.
 - * Massless goldstino disappear.
- $\sum m^2(\text{boson}) - \sum m^2(\text{fermion}) \propto m_{3/2}^2 > 0$.
 - ▷ Realistic mass spectrum $m(\text{squark}) > m(\text{quark})$ possible.

Minimal supergravity

(Barbieri, Ferrara & Savoy, '82)

Field contents: “visible” sector (MSSM, ϕ) and “hidden” sector (z)

- Simplest Kähler potential: $K = \varphi_i^* \varphi^i \rightarrow K_i^j = \delta_i^j$.
- $W = W_{\text{hid}}(z) + W_{\text{vis}}(\phi)$.
- SUSY breaking occurs in the “hidden” sector.

⇓ flat limit ($M_{\text{Planck}} \rightarrow \infty$ with $m_{3/2}$ fixed)

- Lagrangian for the “visible” sector: softly broken (global) SUSY with:
 - ▷ universal scalar mass $m_0 = m_{3/2}$.
 - * degenerate squarks \rightarrow flavor problem resolved.
 - ▷ universal trilinear coupling $T_{U,D,E} = A_0 Y_{U,D,E} \propto m_{3/2}$.
 - ▷ minimal gauge kinetic function ($f_{ab} = \delta_{ab}$) では gaugino mass は出ない (tree level).
 - * loop correction, or nonminimal f_{ab} .

Electroweak symmetry breaking (EWSB)

Higgs potential (neutral component)

$$V_{\text{Higgs}} = m_1^2 |h_1|^2 + m_2^2 |h_2|^2 - (m_3^2 h_1 h_2 + \text{H. c.}) + \frac{g_1^2 + g_2^2}{8} (|h_1|^2 - |h_2|^2)^2$$
$$m_i^2 = |\mu|^2 + m_{H_i}^2, \quad i = 1, 2,$$

- Quartic coupling \Leftarrow SUSY gauge interaction.
 - ▷ Flat direction $|h_1| = |h_2|$.
- EWSB conditions:

$$m_1^2 m_2^2 - |m_3^2|^2 < 0, \quad m_1^2 + m_2^2 - 2|m_3^2| > 0.$$

$$\langle h_1 \rangle = v \cos \beta, \quad \langle h_2 \rangle = v \sin \beta, \quad m_W^2 = \frac{g_2^2}{2} v^2.$$

▷ $m_{H_1}^2 = m_{H_2}^2 = m_0^2$ では実現しない。

Radiative electroweak symmetry breaking

量子補正 \Rightarrow Lagrangian のパラメータは繰り込み群方程式に従う running parameters.

- “Universal” soft SUSY breaking (\leftarrow SUGRA): Planckスケール (GUTスケール) 付近の値。
- 現象論に必要なのはEWスケール付近 ($O(100)$ GeV – $O(1)$ TeV) の値。

\Rightarrow Top Yukawa coupling の効果が重要 (Alvarez-Gaumé, Polchinski & Wise, '83, Inoue, Kakuto & Takeshita, '84)

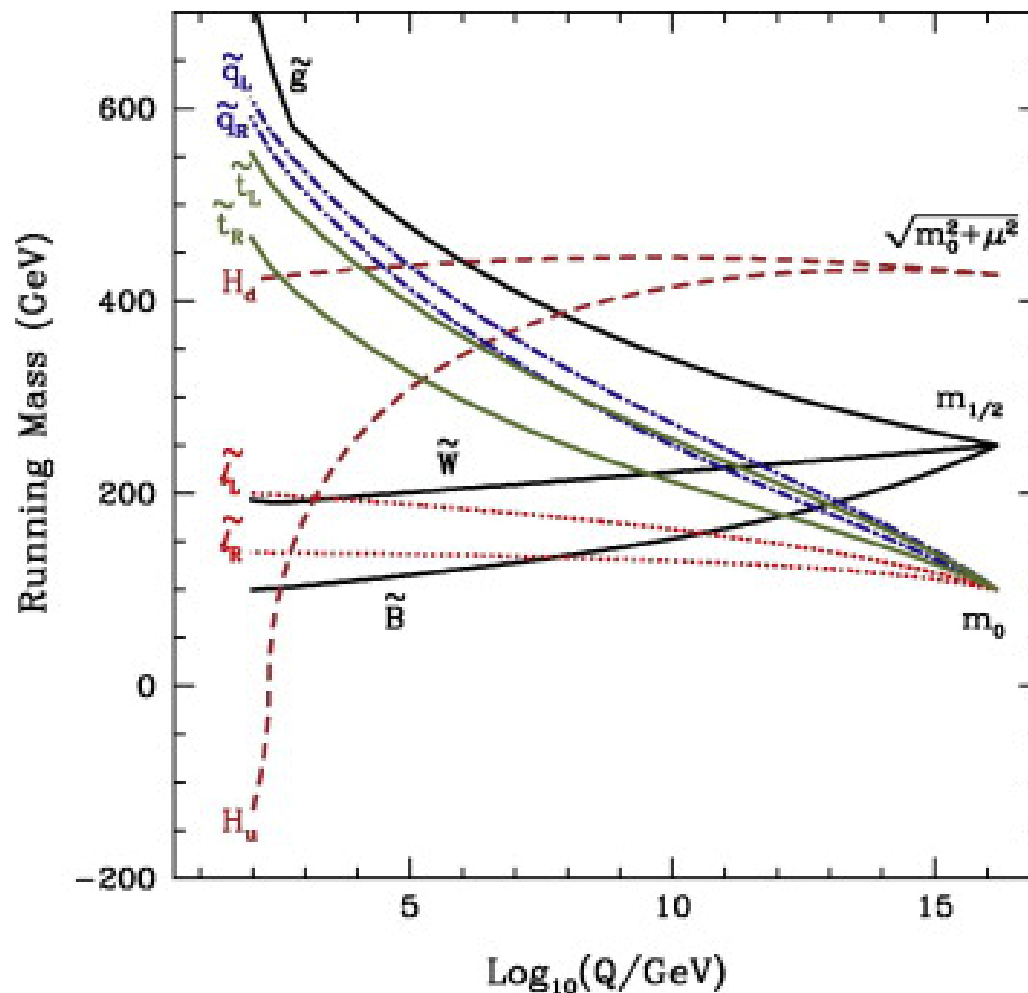
RGEs (3rd gen.):

$$(4\pi)^2 \mu \frac{d}{d\mu} m_Q^2 = 2y_t^2 (m_Q^2 + m_U^2 + m_{H_2}^2) - \frac{32}{3} g_3^2 |M_3|^2 + \dots,$$

$$(4\pi)^2 \mu \frac{d}{d\mu} m_U^2 = 4y_t^2 (m_Q^2 + m_U^2 + m_{H_2}^2) - \frac{32}{3} g_3^2 |M_3|^2 + \dots,$$

$$(4\pi)^2 \mu \frac{d}{d\mu} m_{H_2}^2 = 6y_t^2 (m_Q^2 + m_U^2 + m_{H_2}^2) + \dots,$$

RG running of sparticle masses



(K.A. Olive, '08)

- $O(100)$ GeV スケールで $m_2^2 < 0 \Rightarrow$ EWSB.
 \Rightarrow considered as a realistic scenario.

mSUGRA scenario

- MSSM with R -parity.
- SUGRA-induced (gravity-mediated) SUSY breaking.
 - ▷ SUSY breaking parameters at GUT scale:
 - * universal scalar mass m_0 ,
 - * universal trilinear coupling A_0 .
⇒ flavor problem under control.
 - * universal (unified) gaugino mass $m_{1/2}$,
 - ▷ EW scale input parameters: $\tan \beta = \langle h_2 \rangle / \langle h_1 \rangle$, $\text{sgn}(\mu)$.
- Radiative EWSB.

基本要素は80年代前半に出揃っていた。

その後の発展: 定量的精密化

- Loop correction to Higgs boson mass (1-loop: Okada, Yamaguchi & Yanagida, '91) → 2-loop.
- 2-loop RGE (Jack, Jones, Martin, Vaughn & Yamada, '94).

MSSM particles

- R -even

- ▷ Quarks: $u, c, t; d, s, b$.
- ▷ Leptons: $e, \mu, \tau; \nu_e, \nu_\mu, \nu_\tau$.
- ▷ Gauge bosons: g, W^\pm, Z, γ .
- ▷ Higgs bosons: h^0, H^0, A^0, H^\pm (\Leftarrow 2-Higgs doublet model).

- R -odd

- ▷ Squarks: $\tilde{u}_L, \tilde{u}_R, \tilde{c}_L, \tilde{c}_R, \tilde{t}_L, \tilde{t}_R; \tilde{d}_L, \tilde{d}_R, \tilde{s}_L, \tilde{s}_R, \tilde{b}_L, \tilde{b}_R$.
- ▷ Sleptons: $\tilde{e}_L, \tilde{e}_R, \tilde{\mu}_L, \tilde{\mu}_R, \tilde{\tau}_L, \tilde{\tau}_R; \tilde{\nu}_{eL}, \tilde{\nu}_{\mu L}, \tilde{\nu}_{\tau L}$.

* 一般に世代、Left-Right の混合有り。

- ▷ Gluino: \tilde{g} .

- ▷ Chargino = mixture of charged gauginos & higgsinos: $\tilde{\chi}_1^\pm, \tilde{\chi}_2^\pm$ (Dirac).

- ▷ Neutralino = mixture of neutral gauginos & higgsinos: $\tilde{\chi}_1^0, \tilde{\chi}_2^0, \tilde{\chi}_3^0, \tilde{\chi}_4^0$ (Majorana).

MSSM particles

LSP: stable, neutral. \Rightarrow Lightest neutralino or sneutrino.

mSUGRA では、 $m(\tilde{\nu}) > m(\tilde{\tau})$ になりやすい (RG running \oplus Left-Right mixing)。

\Rightarrow 大半の場合 neutralino LSP $\tilde{\chi}_1^0$.

Constraints from LHC

CERN Large Hadron Collider: proton-proton collider at $\sqrt{s} = 7$ TeV (2010-2011), $\sqrt{s} = 8$ TeV (2012).

Experiments:

- SUSY/Higgs search: ATLAS, CMS.
- B physics: LHCb.

SUSY search at ATLAS & CMS

Main target: colored SUSY particles = squark \tilde{q} , gluino \tilde{g} .

Production: $qg \rightarrow \tilde{q}\tilde{g}$, $gg \rightarrow \tilde{q}\tilde{q}^*$, $gg \rightarrow \tilde{g}\tilde{g}$.

- R -parity \rightarrow sparticles are produced in pairs.

Decay: $\tilde{q} \rightarrow q\tilde{\chi}_1^0$, $\tilde{g} \rightarrow q\bar{q}\tilde{\chi}_1^0$.

- LSP (lightest neutralino $\tilde{\chi}_1^0$) は見えない。 \Rightarrow missing momentum.
 - ▷ Missing transverse energy (\cancel{E}_T) を測る。
- high-energy quark \rightarrow hadronic “jet”.

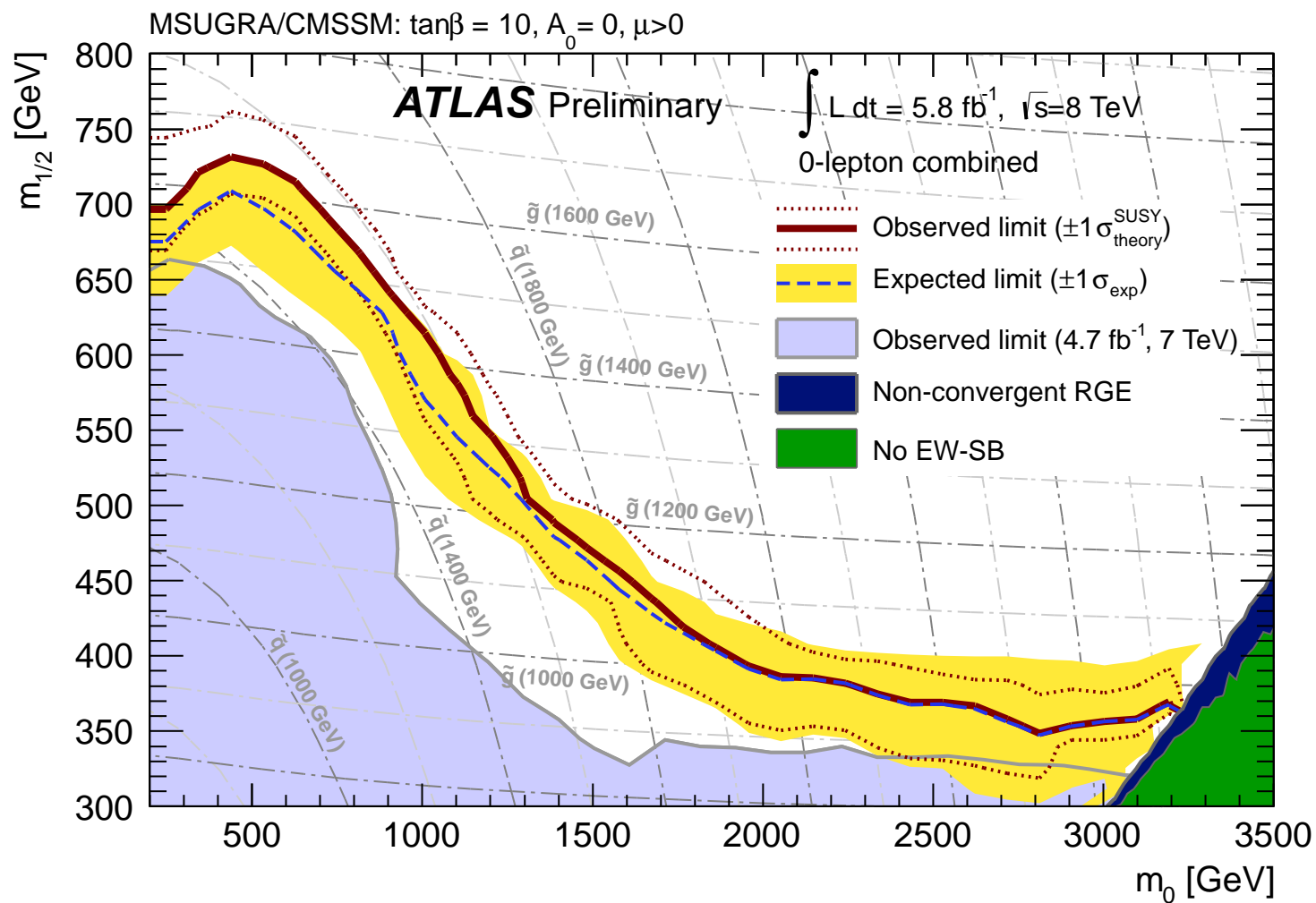
Typical signal: excess in jets + \cancel{E}_T + 0 lepton (μ or e).

- $\cancel{E}_T \gtrsim 200$ GeV で測れる。

\Rightarrow No excess found.

SUSY search at ATLAS & CMS

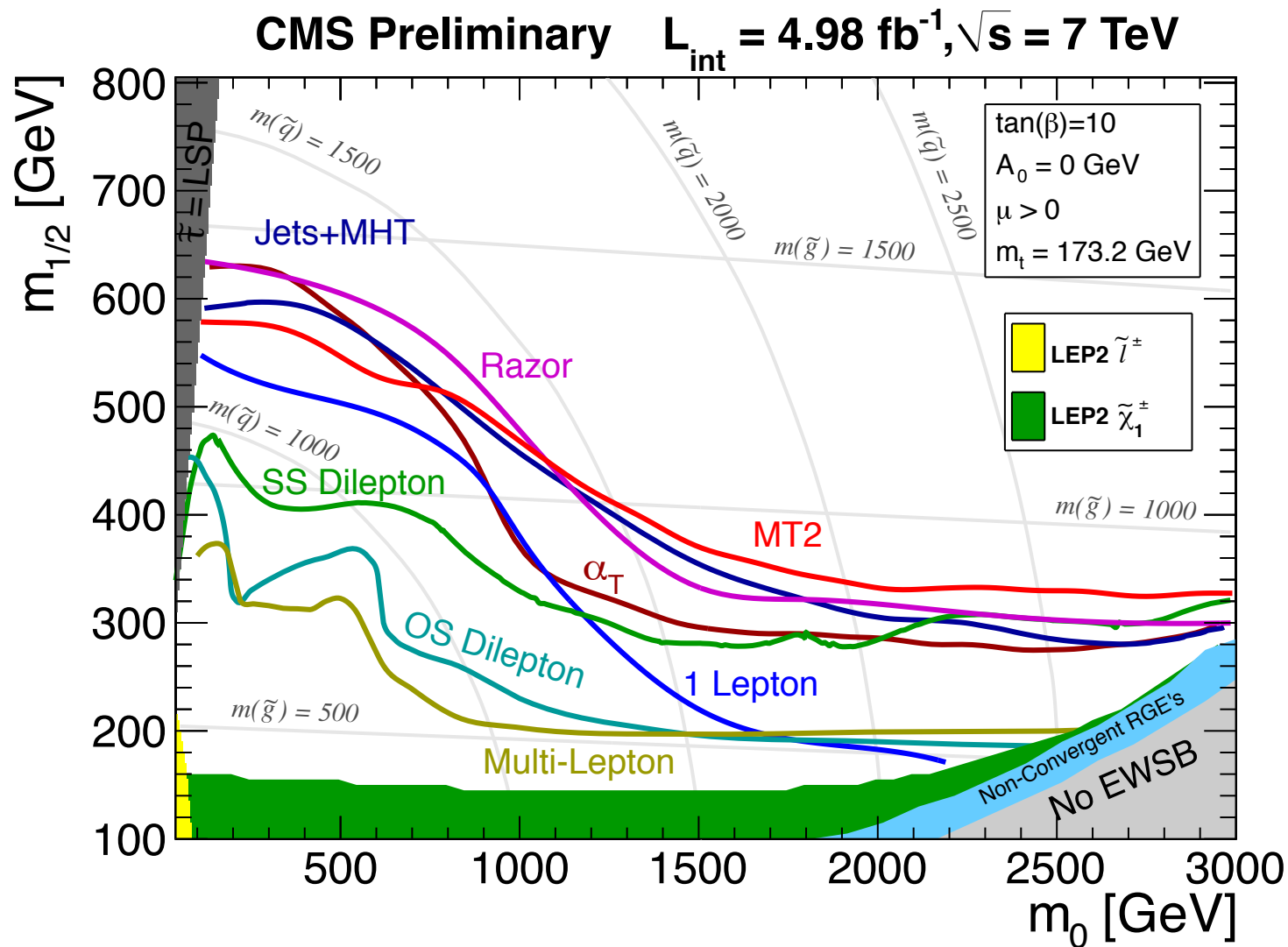
mSUGRA interpretation: $m(\tilde{g}) > 1 \text{ TeV}$, $m(\tilde{q}) > 1.5 \text{ TeV}$.



(ATLAS-CONF-2012-109)

SUSY search at ATLAS & CMS

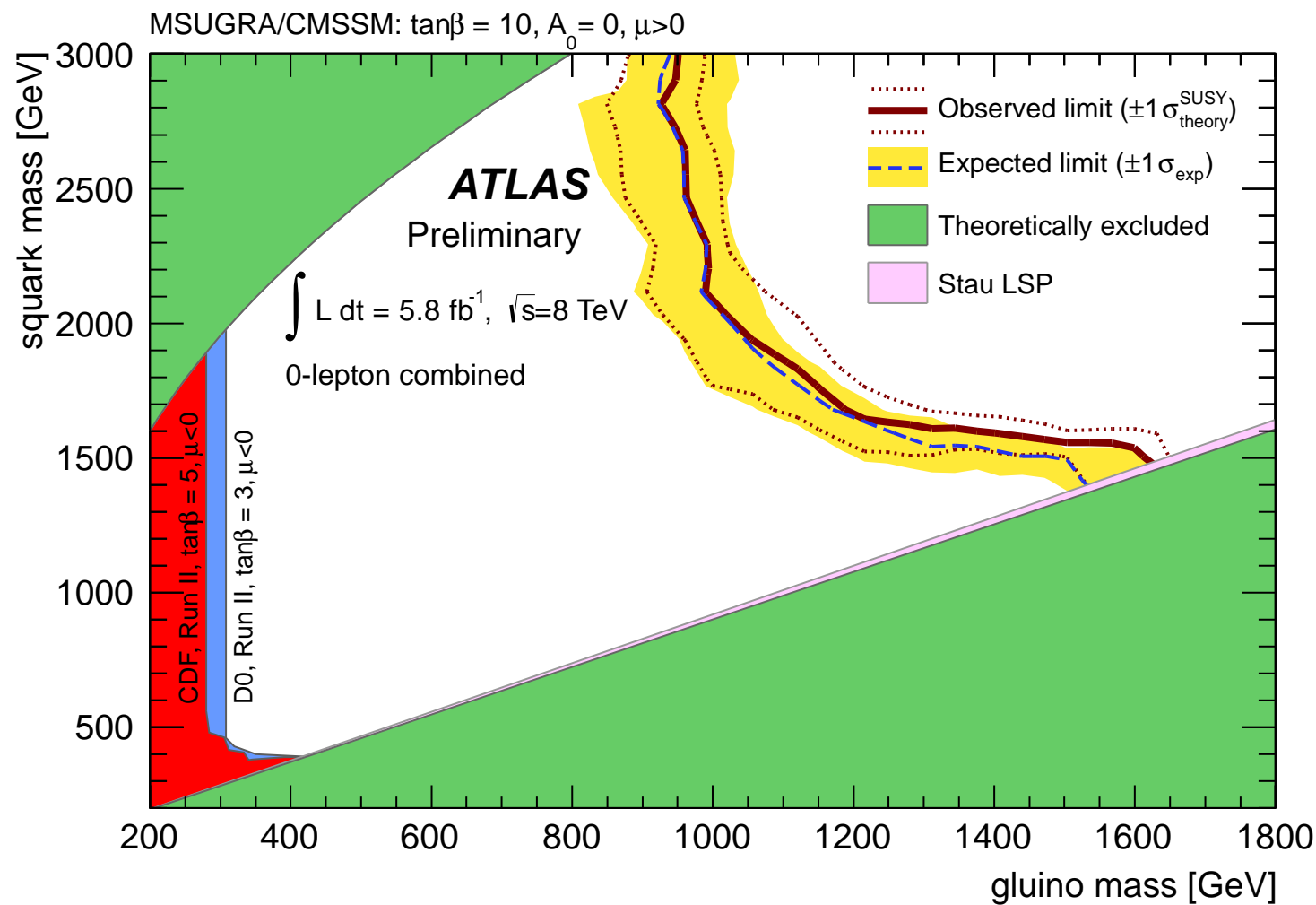
mSUGRA interpretation



(CMS, SUSY2012)

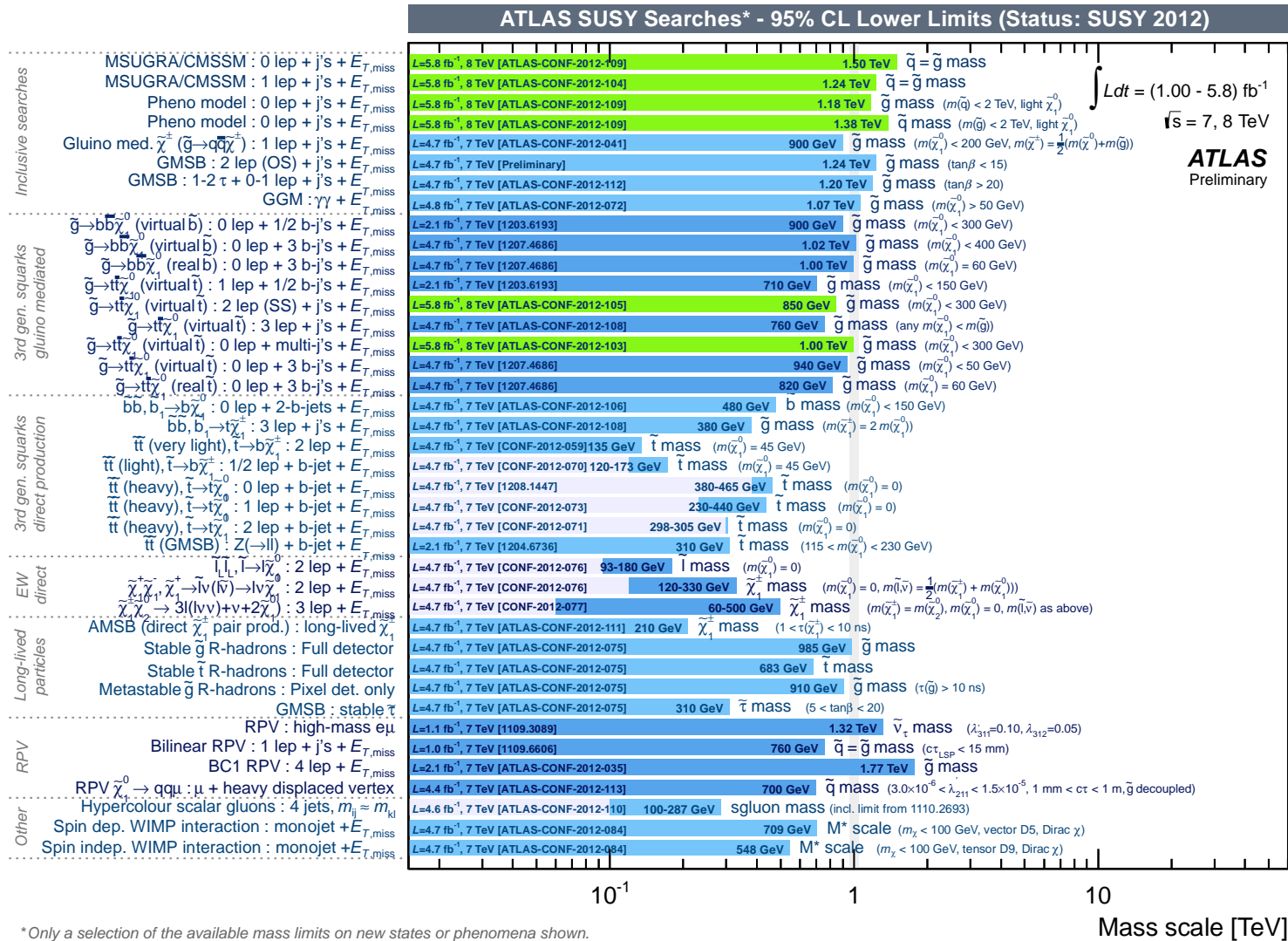
SUSY search at ATLAS & CMS

mSUGRA interpretation: $m(\tilde{g}) > 1 \text{ TeV}$, $m(\tilde{q}) > 1.5 \text{ TeV}$.



(ATLAS-CONF-2012-109)

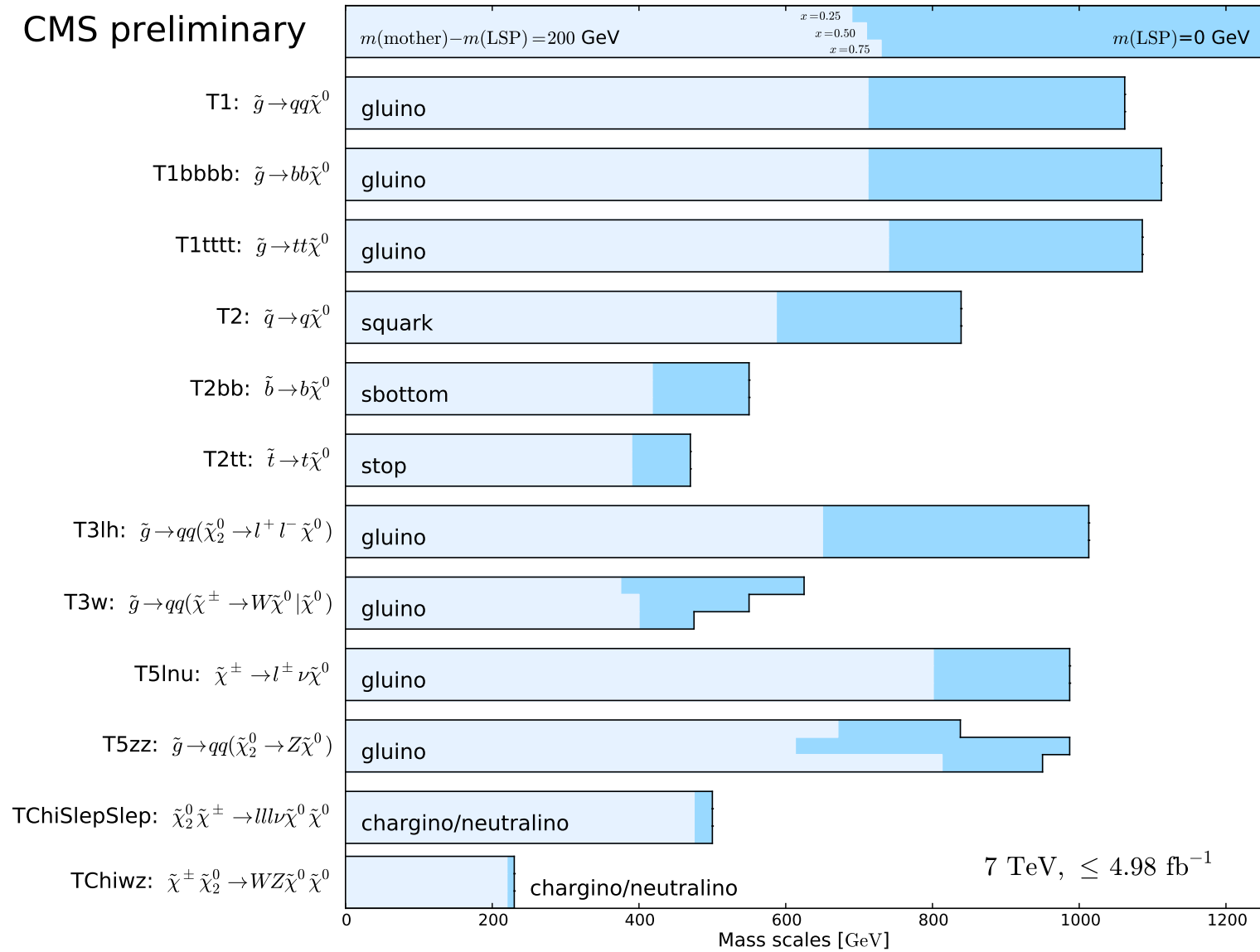
SUSY search at ATLAS & CMS



(ATLAS, SUSY2012)

SUSY

CMS preliminary



(CMS, SUSY2012)

Higgs boson search at ATLAS & CMS

SM Higgs(-like) boson discovered: $m(h) \approx 125$ GeV.

SUSY 模型へのインパクト?

- 基研研究会 標準模型を超えた素粒子理論へ向けて
～ 新しい実験結果をふまえて～ (2012.3.19–23) で議論。[まとめPDF]

MSSM Higgs boson masses

$$V_{\text{Higgs}} = m_1^2 |h_1|^2 + m_2^2 |h_2|^2 - (m_3^2 h_1 h_2 + \text{H. c.}) + \frac{g_1^2 + g_2^2}{8} (|h_1|^2 - |h_2|^2)^2$$

$$\frac{\partial V_{\text{Higgs}}}{\partial h_i} = 0 \quad \Rightarrow \quad \langle h_1 \rangle = v \cos \beta, \quad \langle h_2 \rangle = v \sin \beta.$$

Physical Higgs bosons: charged H^\pm , pseudoscalar A^0 , scalar H^0, h^0 .

Tree level mass relations:

$$m_{A^0}^2 = m_1^2 + m_2^2, \quad m_{H^\pm}^2 = m_{A^0}^2 + m_W^2,$$

$$m_{H^0, h^0}^2 = \frac{1}{2} \left\{ m_{A^0}^2 + m_Z^2 \pm \sqrt{(m_{A^0}^2 + m_Z^2)^2 - 4m_{A^0}^2 m_Z^2 \cos^2 2\beta} \right\}.$$

$$m_{h^0}^2 < m_Z^2 \cos^2 2\beta.$$

- $m_{A^0} \gtrsim 200 \text{ GeV}$ 程度なら、 h^0 (軽い方) はほぼ SM Higgs とみなしてよい。

MSSM Higgs boson masses

Top Yukawa による loop correction が重要 (Okada, Yamaguchi & Yanagida, '91)。

1-loop approximate formula:

$$m_{h^0}^2 = m_Z^2 \cos^2 2\beta + \frac{3m_t^4}{4\pi^2 v^2} \left[\log \frac{M_S^2}{m_t^2} + \frac{X_t^2}{M_S^2} \left(1 - \frac{X_t^2}{12M_S^2} \right) \right],$$

$$M_S = \sqrt{m_{\tilde{t}_1} m_{\tilde{t}_2}}, \quad X_t: \text{Left-right mixing of } \tilde{t}.$$

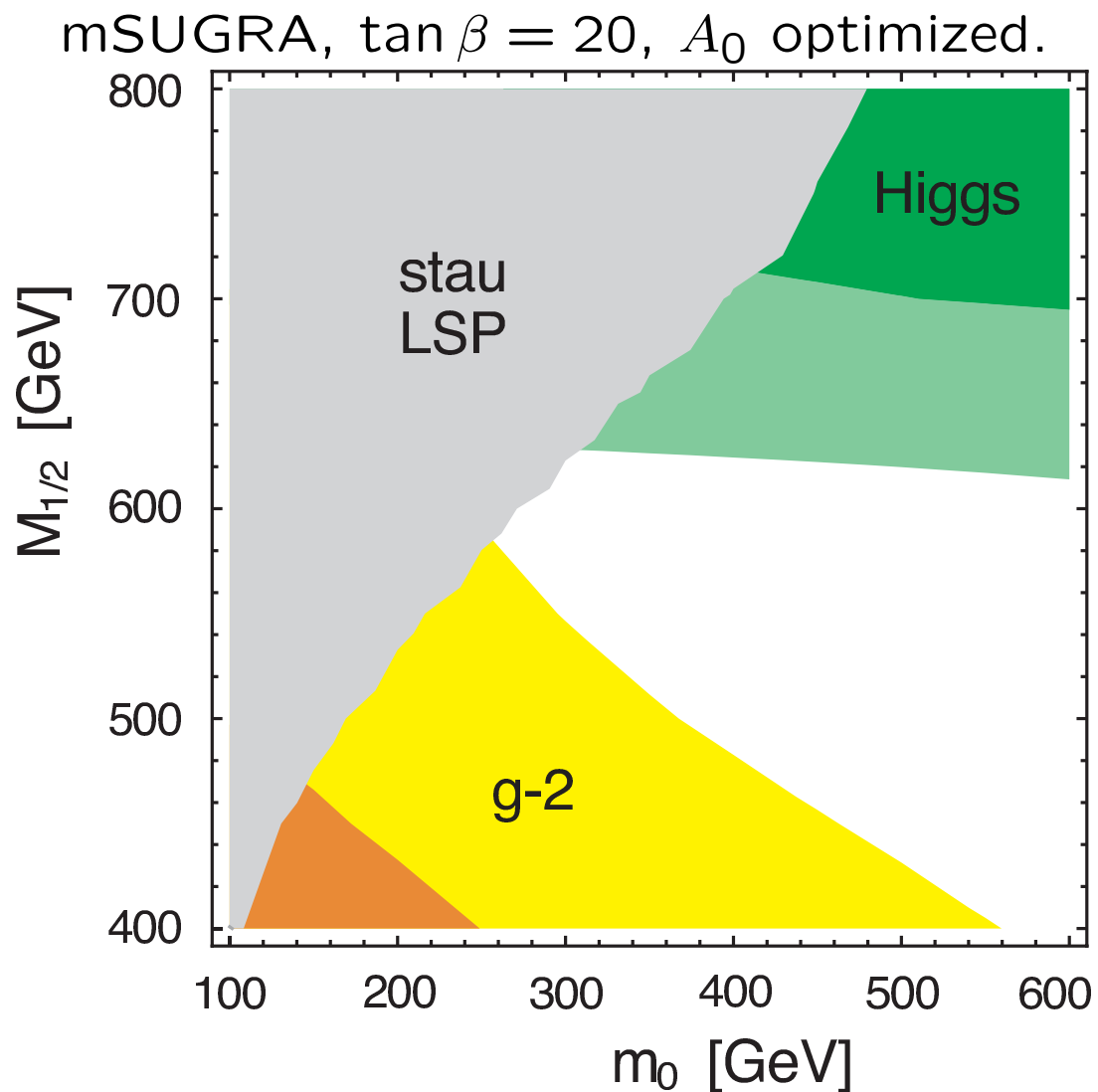
- 現在は 2-loop まで計算されている。

$m_{h^0} > m_Z$ になるには:

- Heavy stop,
- Large stop left-right mixing (max: $X_t/M_S = \sqrt{6}$),

$m_{h^0} \approx 125 \text{ GeV} \Rightarrow$ SUSY parameters に制限。

MSSM Higgs boson masses



(Endo, Hamaguchi, Iwamoto, Nakayama & Yokozaki, '12)

緑: $m_{h^0} = 125 \pm 1$ GeV.

Constraints from flavor physics

Flavor Changing Neutral Current (FCNC) processes が重要な制限。

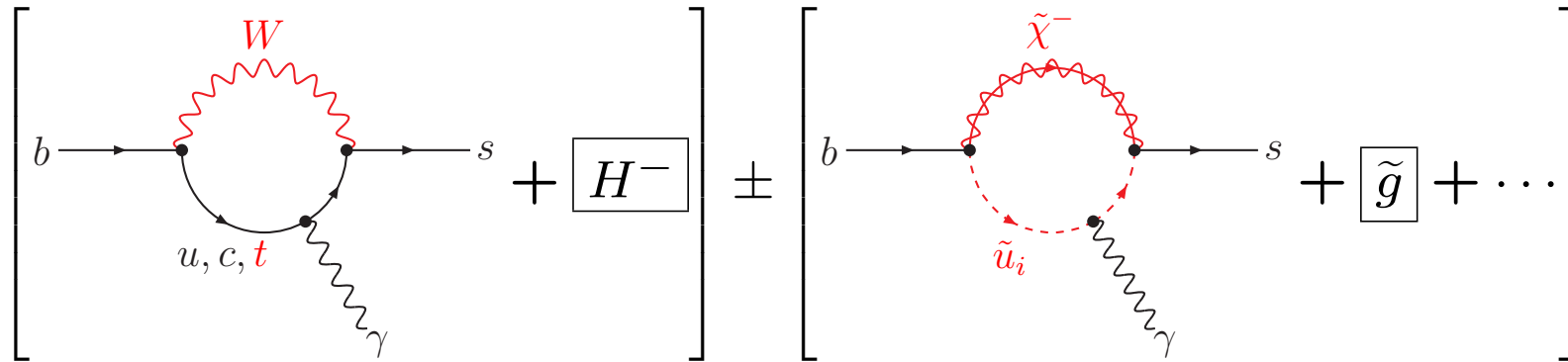
mSUGRA (degenerate squark mass \oplus RG running) では、
Quark 質量行列の構造 \Rightarrow squark 質量行列の構造

$$\frac{m_{u,c}}{m_W} \ll 1 \lesssim \frac{m_t}{m_W} \Rightarrow m(\tilde{u}) \approx m(\tilde{c}) > m(\tilde{t})$$

- $K^0 - \bar{K}^0$ 混合への寄与は抑えられる。
- Squark フレイバー混合は主に \tilde{q}_L 、 $\sim V_{\text{CKM}}$ 。
- b の物理には効き得る。
 - ▷ $b \rightarrow s \gamma$
 - ▷ $B_s \rightarrow \mu^+ \mu^-$

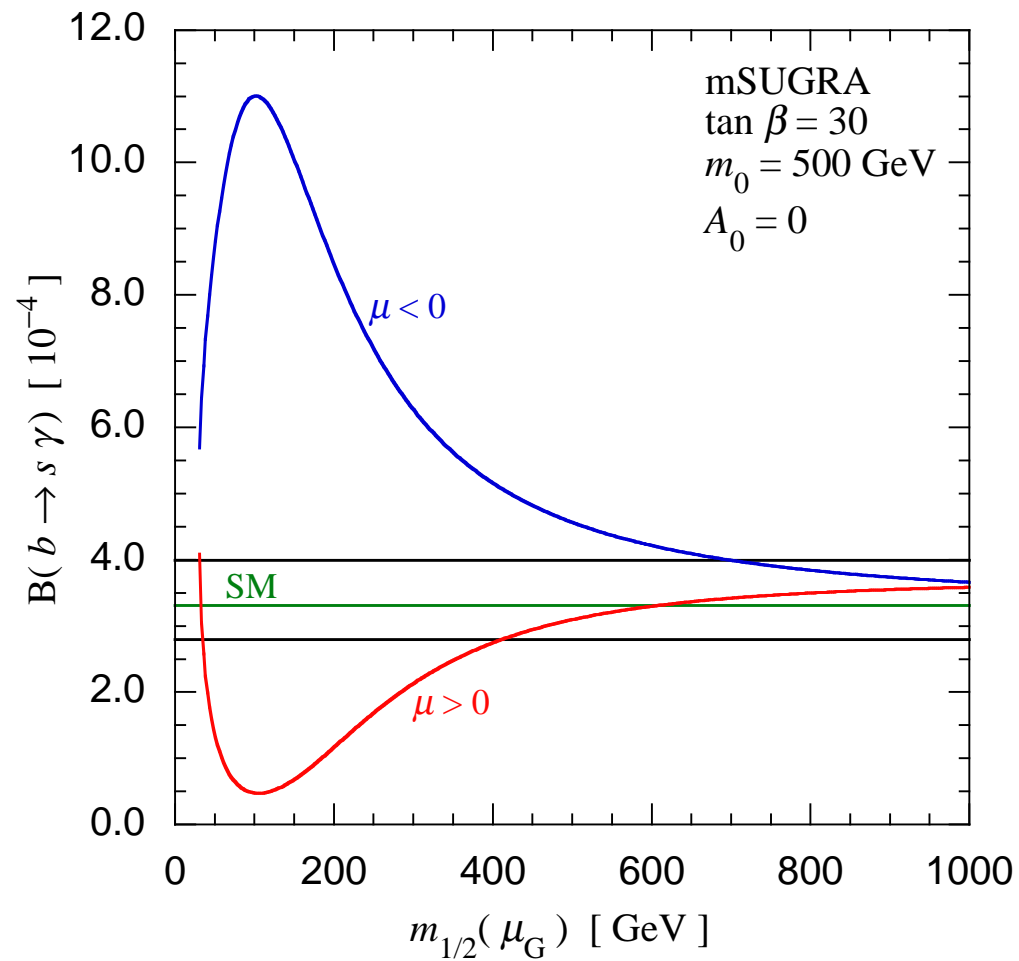
$b \rightarrow s \gamma$ in mSUGRA

- $B(b \rightarrow s \gamma)_{\text{exp}} = (3.55 \pm 0.24 \pm 0.09) \times 10^{-4}$ (Belle+Babar+CLEO, '10)
- $B(b \rightarrow s \gamma)_{\text{SM}} = (3.15 \pm 0.23) \times 10^{-4}$ (Misiak, '07, $O(\alpha_s^2)$ まで)



- SM(W) + H^- と squark-“ino” ループの寄与の相対符号は模型のパラメータによって決まる (Higgsino mass μ と gaugino mass $m_{1/2}$ の相対符号が主)。
- SUSY 粒子による寄与が標準模型 (W) 分と同等の大きさになり得る。
 - ▷ $b \rightarrow s \gamma$ はクォークのカイラリティが反転する ($b_R \rightarrow s_L$) 過程。
 - * 標準模型では m_b がカイラリティ反転の最大要因。
 - * squark-“ino” ループでは gaugino/higgsino の質量等でカイラリティ反転を生じる。

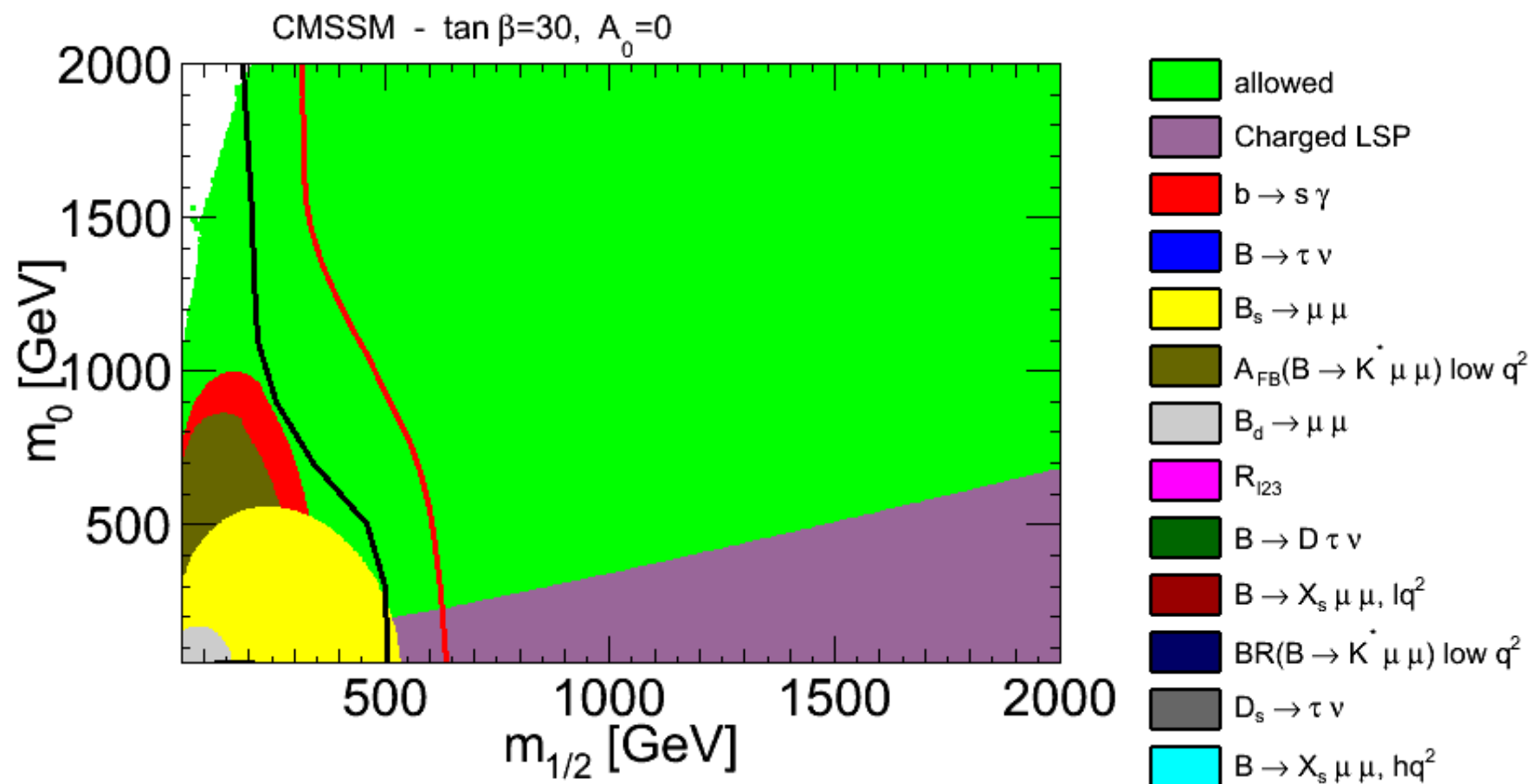
$b \rightarrow s \gamma$ in mSUGRA



SUSY braking パラメータに重要な制限を与えていた。

$b \rightarrow s \gamma$ in mSUGRA

(Mahmoudi, '12)

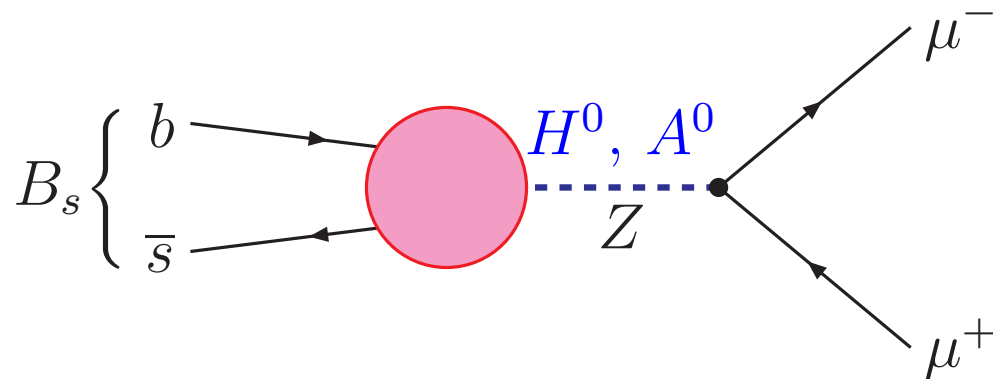


- 赤線: CMS exclusion limit with 4.4fb^{-1} data.

$B_s \rightarrow \mu^+ \mu^-$ in mSUGRA

- $B(B_s \rightarrow \mu^+ \mu^-)_{\text{exp}} < 4.5 \times 10^{-9}$ at 95% C.L. (LHCb, '12)
- $B(B_s \rightarrow \mu^+ \mu^-)_{\text{SM}} = (3.58 \pm 0.36) \times 10^{-9}$

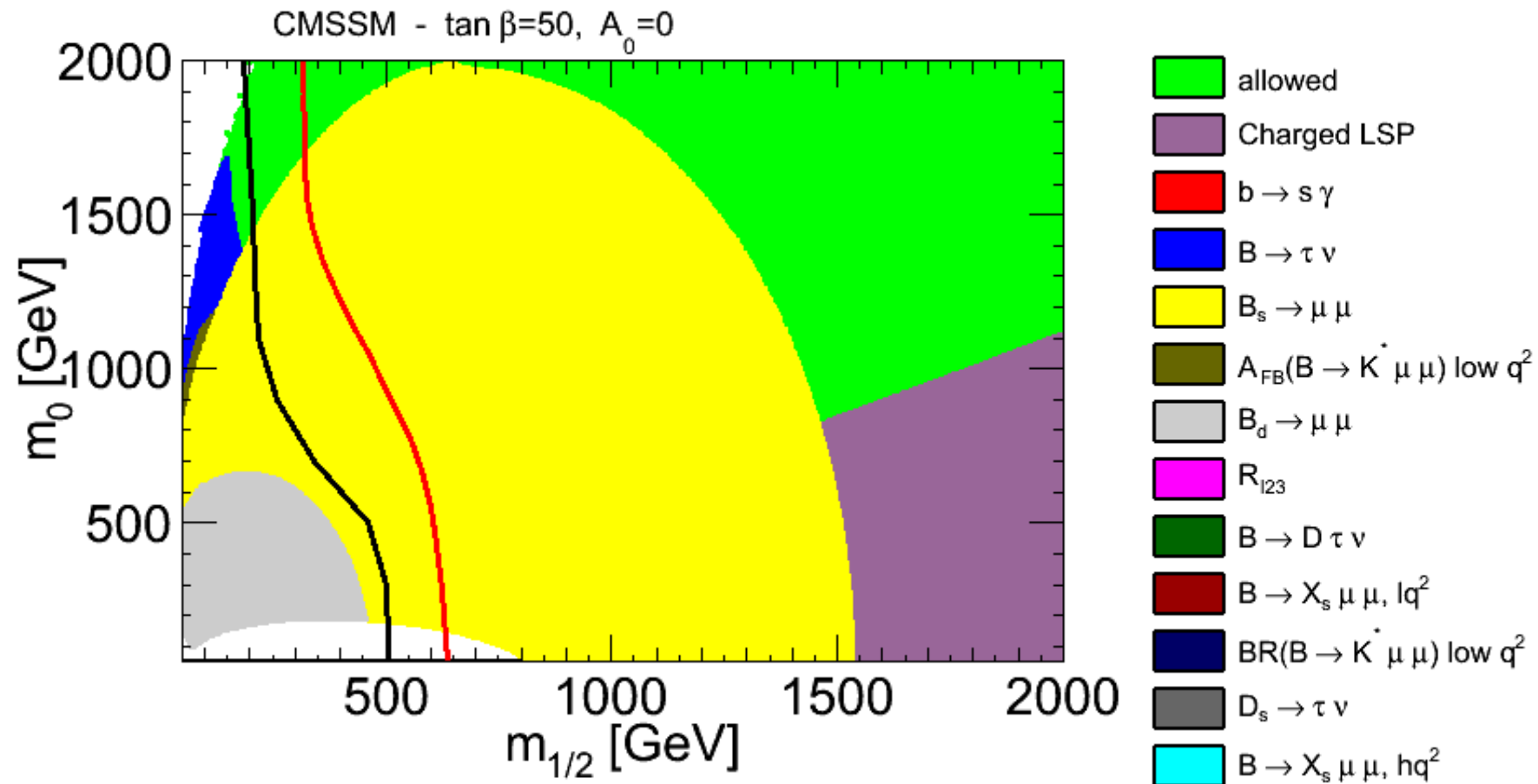
標準模型値に迫って来た。



- SUSY breaking による湯川相互作用への補正が重要な寄与。
 - ▷ $B_{\text{SUSY}} \gg B_{\text{SM}}$ になり得るとして注目された。
- $B(B_s \rightarrow \mu^+ \mu^-)_{\text{SUSY}} \propto \frac{\tan^6 \beta}{m_A^4} \Rightarrow \tan \beta \gtrsim 40$ で強い制限。

$B_s \rightarrow \mu^+ \mu^-$ in mSUGRA

$\tan \beta = 50$ の場合 (Mahmoudi, '12)



- 黄色: LHCb limit for $B(B_s \rightarrow \mu^+ \mu^-)$

Conclusion

- SUSY は new physics の候補。
- LHC SUSY search でシグナルは見つかっていない。
 - ▷ spectrum に制限:
 $m(\tilde{g}) > 1 \text{ TeV}, m(\tilde{q}) > 1.5 \text{ TeV}.$
- 125 GeV Higgs は MSSM と整合。
- $B_s \rightarrow \mu^+ \mu^-$ で large $\tan \beta$ に直接探索より強い制限。